

## اثرات ریزوسفری گندم (*Triticum aestivum L.*) بر سینتیک آزادسازی فسفر

طاهره رئیسی<sup>۱\*</sup> - علیرضا حسین پور<sup>۲</sup>

تاریخ دریافت: ۱۳۹۱/۱۰/۳۰

تاریخ پذیرش: ۱۳۹۲/۶/۳

### چکیده

این پژوهش با هدف بررسی اثرات ریزوسفر گندم بر سینتیک آزادسازی فسفر در ۱۰ خاک آهکی با استفاده از ریزوپاکس اجرا شد. سینتیک آزادسازی فسفر از خاک‌های ریزوسفری و توده توسط عصاره‌گیری متوالی با بی‌کربنات سدیم در یک دوره از ۲۸۴۰ ساعت در دمای  $1\pm 25$  درجه سانتی‌گراد بررسی شد. نتایج نشان داد که میانگین مقادیر فسفر استخراج شده در ۸۴۰ ساعت از خاک‌های ریزوسفری (۱۹۲ میلی‌گرم بر کیلوگرم) به طور معنی‌داری کمتر از خاک‌های توده (۲۰۷ میلی‌گرم بر کیلوگرم) بود. همچنین، نتایج نشان داد که شبیه منحنی تجمعی فسفر آزاد شده از خاک‌های ریزوسفری و توده در ۱۶۸ ساعت تغییر کرد. بنابراین نمودارها به دو بخش تقسیم و در هر بخش (۲-۱۶۸ و ۱۶۸-۸۴۰ ساعت) معادلات سینتیکی به داده‌ها برآش شدند. نتایج نشان دادند که معادله‌های تابع نمایی، پخشیدگی پارابولیک، الوبیج ساده و مرتبه اول می‌توانند در هر دو بخش سرعت آزادشدن فسفر را به خوبی، تشریح کنند. همچنین نتایج مطالعات همبستگی نشان داد که در بخش اول، مقادیر فسفر آزاد شده پس از ۱۶۸ ساعت از شروع آزمایش، ثابت سرعت معادلات الوبیج ساده، پخشیدگی پارابولیک، و معادله مرتبه اول در خاک‌های ریزوسفری و توده همبستگی معنی‌داری با شاخص‌های گیاه گندم داشتند ( $p \leq 0.05$ ). در بخش دوم، ثابت سرعت معادلات الوبیج ساده و پخشیدگی پارابولیک در خاک‌های ریزوسفری و توده همبستگی معنی‌داری با شاخص‌های گیاه گندم داشتند ( $p \leq 0.01$ ). نتایج این تحقیق نشان داد که ریزوسفر گندم منجر به کاهش مقدار و سرعت آزادسازی فسفر می‌شود و سرعت آزادسازی فسفر از خاک‌ها فاکتور مهمی در تأمین فسفر مورد نیاز گیاه می‌باشد.

**واژه‌های کلیدی:** ریزوسفر، شاخص‌های گیاهی، عصاره‌گیری متوالی

فوق وابسته به عوامل مهمی از قبیل pH، غلظت کاتیون‌های فلزی نظیر کلسیم، آهن و آلومینیوم، و غلظت لیگاند‌های آلی و معدنی رقابت کننده با یون‌های فسفر می‌باشد (۱۰). ریشه گیاهان از طریق تغییر سه عامل ذکر شده (pH، غلظت کاتیون‌های فلزی و غلظت لیگاند‌های آلی و معدنی) در نتیجه‌ی جذب و یا تراویش آنها منجر به ایجاد تغییراتی در تعادلات شیمیایی فسفر در خاک می‌شود و از این طریق تحرک و قابلیت دسترسی فسفر معدنی خاک را تحت تأثیر قرار می‌دهد (۱۰). به طور معمول، تخلیه فسفر در ریزوسفر توسط گیاه منجر به انتقال مجدد فسفر به فاز محلول از فاز جامد خاک می‌شود. سرعت انتقال مجدد فسفر به محلول خاک از فاز جامد هم به غلظت فسفر در فاز محلول و هم به زمان وابسته است و با خصوصیات فیزیکی-شیمیایی خاک تغییر می‌کند (۲ و ۳). وقتی فعالیت ریشه گیاه از طریق تخلیه و تجمع فسفر در ریزوسفر، تغییر pH ریزوسفر، تراویش آنیون‌های آلی و آنزیم فسفاتازها شرایط متفاوتی را در اطراف خود نسبت به توده خاک (غیرریزوسفری) ایجاد می‌کند (۶، ۱۲، ۱۴، ۲۱، ۲۳ و ۲۵)، ضرورت بررسی آزادشدن فسفر، از فاز جامد به محلول

### مقدمه

ریشه گیاه به طور مستقیم از طریق فعالیت خود یا به طور غیر مستقیم از طریق تحریک جمیعت و فعالیت ریزاندaran می‌تواند، شرایط شیمیایی و بیولوژیکی متفاوتی در سطح خود نسبت به خاک توده ایجاد کند. نتایج مطالعات حاکی است که جذب عناصر غذایی توسط گیاه به سرعت عرضه شکل قابل دسترس عنصر برای ریشه بیش از کل مقدار عنصر در خاک بستگی دارد (۲۰). فسفر یکی از مهمترین عناصر غذایی است که در غلظت‌های خیلی کم در محلول خاک وجود دارد و جذب آن توسط گیاه منجر به کاهش بیشتر این عنصر در ناحیه نزدیک به ریشه می‌شود (۴). غلظت یون‌های فسفر در فاز محلول توسط گونه‌بندی فسفر و یک دامنه واکنش با فاز جامد خاک (جذب-واجذبی یا انحلال-رسوب) تعیین می‌شود. همه‌ی عوامل

۱ و ۲- دانشجوی دکتری و استاد گروه علوم خاک، دانشکده کشاورزی، دانشگاه شهرکرد

(Email: taraiiesi@gmail.com)

\*)- نویسنده مسئول:

ریزوسفر گندم از ریزوباکس استفاده شد. ابعاد ریزوباکس  $160 \times 132 \times 10$  میلی متر (ارتفاع×عرض×ارتفاع) در نظر گرفته شد (شکل ۱). ریزوباکس به سه بخش، شامل بخش مرکزی یا قسمت ریزوسفری (طول ۳۲ میلی متر) و قسمت های غیرریزوسفری (به طول ۵۰ میلی متر در دو طرف خاک ریزوسفری) تقسیم شد. دو قسمت خاک غیرریزوسفری از قسمت ریشه و خاک ریزوسفری توسط یک پوشش نایلونی با قطر منفذ حدود ۲۴ میکرومتر جدا شد. قسمت ریزوسفری و قسمت های توده ای به ترتیب با ۹۰۰ و ۳۱۰۰ گرم خاک هوا خشک پر شدند. نظر به اینکه خاک ریزوباکس ها نایاب از لحاظ سایر عناصر غذایی کمبودی داشته باشند، در ابتدای کشت به هر ریزوباکس ۱۰۰ میلی گرم پتاسیم از منبع سولفات پتاسیم و ۵ میلی گرم آهن به صورت سکوسترین ۱۳۸ در کیلوگرم خاک و ۲ میلی گرم روی در کیلوگرم خاک از منبع سولفات روی اضافه شد. همچنین، به هر ریزوباکس ۱۰۰ میلی گرم نیتروژن در کیلوگرم خاک از منبع اوره به صورت تقسیط در سه نوبت اضافه شد. برای کشت گیاه بذرهای گندم (Triticum aestivum L.) رقم بکراس روشن پس از ضدعفونی با هیپوکلریت سدیم به تعداد شش بذر در قسمت مرکزی ریزوباکس ها کشت شدند. در پایان هفتگه اول تعداد بذرها در هر ریزوباکس به چهار عدد تقلیل یافت. در طول مدت رشد، مراقبت های لازم انجام و سعی شد رطوبت خاک ها در حد ظرفیت مزرعه ثابت بماند. بخش هوايی گیاهان ۸ هفته بعد از کاشت برداشت شد. بخش های هوايی گیاهان با آب مقطر شسته شده و به مدت ۷۲ ساعت در دمای ۶۵ مرتبه سلسیوس خشک و وزن خشک اندام هوايی و ریشه تعیین شد. نمونه های خشک شده در آون (بخش هوايی) به روش خاکستر خشک هضم و مقدار فسفر موجود در نمونه های هضم شده به روش رنگ-سنجه (۱۸) تعیین شد. همچنین، ریزوباکس ها در پایان فصل رشد باز شدند و از هر ریزوباکس دو نمونه خاک، یکی از قسمت ریشه و دیگری از بخش توده ای خاک (خاک غیرریزوسفری) برداشت شد. این دو نمونه خاک در هر ریزوباکس به ترتیب معرف خاک ریزوسفری و خاک توده بودند.

بررسی آزاد شدن فسفر در نمونه خاک های ریزوسفری و غیرریزوسفری گندم با استفاده از روش عصاره گیری متوالی<sup>۱</sup> با محلول بی کربنات سدیم انجام شد. بدین منظور، ۱ گرم خاک از نمونه ها، همراه با ۲۰ میلی لیتر بی کربنات سدیم  $5/0$  مولار با  $pH = 8/5$  در لوله های سانتریفیوژ به صورت جداگانه ریخته شد. نمونه ها داخل انکوباتور در دمای  $25 \pm 1$  درجه سانتی گراد قرار داده شدند.

خاک به عنوان تابعی از زمان (سیستیک آزادسازی فسفر) در دو خاک ریزوسفری و خاک غیرریزوسفری مشخص می شود. اطلاعات کمی درباره اثر فرایندهای ریزوسفری بر آزادسازی فسفر از خاک ها در دسترس می باشد. در تعدادی از تحقیقات، سیستیک آزادسازی فسفر از خاک در غیاب ریشه گیاه با استفاده از بی کربنات سدیم مطالعه شده است (۱، ۹ و ۳۰). همچنین، چندین رابطه برای تشریح آزادسازی فسفر استفاده شده که از آن جمله: معادله مرتبه اول؛ معادله پخشیدگی پارابولیک؛ الوبیج ساده و معادله توانی قابل ذکر است (۱، ۷، ۱۶، ۹، ۲۴، ۲۵ و ۲۸). کوک (۲) به بررسی سرعت آزادسازی فسفر از خاک توسط رزین تبادل آئیونی در دو سری خاک پرداخت. این محقق گزارش کرد که اگر مقدار فسفر آزاد شده در برابر جذر زمان آزادسازی ترسیم گردد، خط راستی بدلست می آید. شبیه این خط راست که در واقع ظرفیت خاک برای تأمین فسفر برای گیاه در حال رشد بود با مقدار فسفر برداشت شده توسط چاودار همبستگی معنی داری داشت. بیانکی و حسین پور (۱) گزارش کردند که ثابت های معادلات پخشیدگی پارابولیک، تابع توانی و فسفر آزاد شده توسط عصاره گیری متوالی با بی کربنات سدیم پس از ۱۷۵۲ ساعت همبستگی معنی داری با شاخص های گیاه ذرت داشتند. حال سوالی که پیش می آید این است که اصلاحات و تغییراتی که توسط ریشه گیاه در ریزوسفر رخ می دهد، می تواند توانایی فاز جامد خاک را برای آزادسازی فسفر تحت تأثیر قرار دهد یا خیر؟ بنابراین پژوهش حاضر با هدف بررسی اثر ریزوسفری گندم بر مقدار و سرعت آزادسازی فسفر در ریزوباکس اجرا شد.

## مواد و روش ها

برای انجام این پژوهش ۳۰ نمونه خاک از نقاط مختلف زمین های زراعی دشت شهر کرد از عمق صفر تا ۳۰ سانتیمتری جمع-آوری شدند. پس از خشک کردن، نمونه های خاک از الک ۲ میلی متری عبور داده شدند. سپس ۱۰ نمونه خاک بر اساس مقادیر درصد رس، کربنات کلسیم معادل و مقدار فسفر عصاره گیری شده با روش اولسن انتخاب شدند. خصوصیات فیزیکی و شیمیایی خاک های منتخب به روش های معمول آزمایشگاهی تعیین شدند. pH نمونه های خاک در عصاره ۲ به ۱ محلول به خاک (۲۹)، قابلیت هدایت الکتریکی در عصاره های صاف شده با نسبت ۲ به ۱ محلول به خاک (۲۲)، کربنات کلسیم معادل خاک به روش تیتراسیون برگشتی با هیدروکسید سدیم (۱۳)، درصد کربن آلی خاک به روش اکسیداسیون تر (۱۹)، گنجایش تبادل کاتیونی به روش استات سدیم یک مولار در  $pH = 8/2$  و بافت خاک به روش هیدرومتر (۸) تعیین شد.

به منظور تعیین شاخص های گیاه گندم، یک آزمایش گلخانه ای در قالب طرح کاملاً تصادفی در سه تکرار انجام شد. برای مطالعه

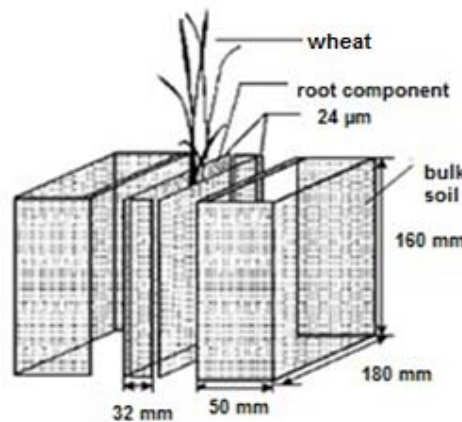
همبستگی ضرایب معادلاتی که بهترین توصیف را از آزاد شدن فسفر در نمونه‌های مطالعه شده داشتند، با شاخص‌های گندم بررسی شد. اثر ریزوفسفر بر مقدار فسفر آزاد شده با آزمون تی تست جفت شده بررسی شد. کلیه آنالیزهای آماری با استفاده از نرم‌افزار استاتیسیتیکا ۱۰ (۲۷) اجرا شد.

## نتایج و بحث

دامنه مقدار رس در خاک‌های مورد مطالعه از ۱۳۳ تا ۵۵۰ گرم بر کیلوگرم خاک، دامنه کربنات کلسیم معادل از ۱۶۲ تا ۴۷۵ گرم بر کیلوگرم خاک و مقدار کربن آلی از ۳/۱ تا ۱۳/۹ گرم بر کیلوگرم خاک می‌باشد. خاک‌های مورد مطالعه قلیابی (دامنه pH از ۷/۹ تا ۸/۱) و غیرشور (دامنه هدایت الکتریکی از ۰/۲۶ تا ۰/۰۶۱ دسی‌زیمنس بر متر) بودند. بنابراین، می‌توان گفت خاک‌های بررسی شده دارای دامنه وسیعی از نظر ویژگی‌های فیزیکی و شیمیایی می‌باشند (جدول ۲).

مقدار فسفر تجمیعی آزادشده از خاک ریزوفسفری و توده شماره ۴ توسط عصاره‌گیری متوالی با کربنات سدیم به عنوان تابعی از زمان عصاره‌گیری در شکل ۲ نشان داده شده است. بقیه خاک‌ها نیز روندی مشابه با خاک شماره ۴ را نشان دادند. روند آزاد شدن تجمیعی فسفر با زمان شامل دو بخش بود. بررسی نمودار آزاد شدن تجمیعی فسفر توسط عصاره‌گیری بی کربنات سدیم نشان داد که سرعت آزاد شدن فسفر از این خاک‌ها (چه ریزوفسفری و چه توده) در مراحل اولیه سریع و سپس کند بود.

شارپلی و آهوجا (۲۵) گزارش کردند که واجذبی فسفر در طول دوره‌های کوتاه، فرایندی با انرژی فعالسازی پایین بود. این پژوهشگران پیشنهاد کردند که به دلیل پایین بودن انرژی فعالسازی در طول دوره‌های کوتاه، احتمالاً مرحله تعیین کننده سرعت واجذبی فسفر در این دوره‌ها، سرعت پخشیدگی فسفر آزاد شده از غشاء‌های آبی احاطه کننده ذرات خاک به خارج است.



شکل ۱- ساختار شماتیک سیستم رایزوواکس

۱۵ دقیقه قبل از قرار دادن نمونه‌ها در انکوباتور و ۱۵ دقیقه قبل از اتمام هر دوره، نمونه‌ها به وسیله دستگاه تکان دهنده برقی تکان داده شدند. خاک‌ها در زمان‌های ۸، ۴، ۲، ۷۲، ۴۸، ۲۴، ۹۶، ۱۲۰، ۱۴۴، ۱۶۸، ۲۴۰، ۳۳۶، ۵۰۴، ۶۷۲ و ۸۴۰ ساعت پس از افزودن محلول‌ها، عصاره‌گیری شدند. بدین منظور، سوسپانسیون‌ها با دستگاه سانتریفیوژ با ۳۰۰۰ دور در دقیقه صاف و محلول رویی جدا و مقدار لازم از محلول عصاره‌گیر مجدداً به نمونه خاک‌ها اضافه و پس از ۱۵ دقیقه تکان دادن توسط دستگاه تکان دهنده برقی، نمونه‌ها به انکوباتور منتقل خواهند شد. غلاظت فسفر عصاره‌ها به روش رنگ-سننجی (۱۸) تعیین شد. پس از پایان دوره آزمایش و جمع‌آوری داده‌ها، معادلات مرتبه اول، الیوچین ساده شده،تابع توانی و پخشیدگی پارابولیک (جدول ۱) بر مقدار تجمیعی فسفر آزاد شده برآورده شد. ثابت‌های معادلات برآورده شد. سپس، بر اساس ضریب تعیین و خطای استاندارد تخمین، بهترین مدل یا مدل‌ها برای توصیف آزاد شدن فسفر انتخاب و ضرایب این معادلات گزارش شد. خطای استاندارد تخمین از رابطه زیر محاسبه می‌شود:

$$SE = \left\{ \sum (P_t - P^*)^2 / (n-2) \right\}^{0.5}$$

که در آن:  $P_t$  و  $P^*$  به ترتیب مقدار فسفر آزاد شده و برآورده شده بوسیله مدل در زمان  $t$  و  $n$  تعداد نقاط آزمایشی است. در نهایت

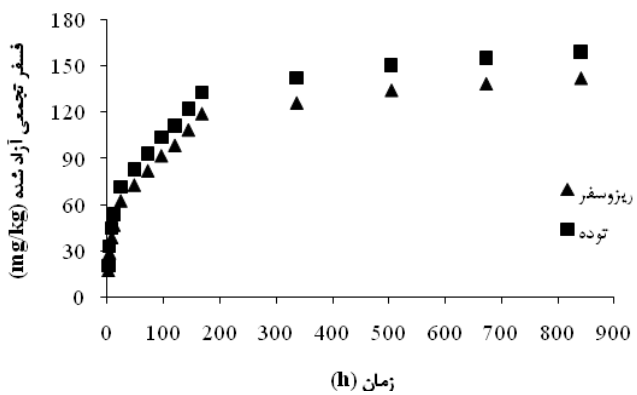
جدول ۱- معادلات سینتیکی مورد استفاده در بررسی آزاد شدن فسفر

فرمول	مدل سینتیکی
$\ln(P_0 - P_t) = a - kt$	مرتبه اول
$P_t = a + Rt^{0.5}$	پخشیدگی پارابولیک
$\ln P_t = \ln a + b \ln t$	تابع توانی
$P_t = a + 1/\beta \ln t$	الیوچین ساده شده
$P_t = \frac{P_0}{(1 + R(t-t_0))^{\beta}}$	تئوری انتقال

P<sub>t</sub>: مقدار فسفر آزاد شده در زمان t (mg/kg); P<sub>0</sub>: مقدار فسفر آزاد شده پس از h (mg/kg); R: ثابت‌های سرعت معادلات سینتیکی؛ a: عرض از مبدأ معادلات و t: زمان (h).

جدول ۲- برخی از خصوصیات فیزیکی و شیمیایی اولیه خاک‌های مطالعه شده

شماره خاک	عرض جغرافیایی							طول و عرض جغرافیایی
	کربنات کلسیم معادل گرم بر کیلوگرم	هدایت الکتریکی	دنسی‌زیمنس بر متر)	واکنش خاک	ردبهندی	شن	رس	
۳/۱	۳۷۰	۲۷۷	۴۲۱	-۰/۳۶	N+	Typic Haploxerepts	۳۲° ۸'N ۵۰°	۵۸'E
۵/۰	۴۷۶	۱۲۶	۱۶۲	-۰/۳۸	N+	Typic Haploxerepts	۱۹'N ۳۳°	۴۰'E ۵۰°
۴/۳	۲۵۰	۴۱۶	۴۱۰	-۰/۴۶	N+	Typic Haploxeralfs	۳۲° ۶'N ۵۰°	۵۹'E
۴/۱	۴۹۴	۱۴۳	۴۷۵	-۰/۴۲	N+	Typic Haploxerepts	۳۲° ۹'N ۵۰°	۵۸'E
۵/۴	۵۲۳	۵۰	۳۸۸	-۰/۴۶	N+	Typic Calcixerpts	۱۵'N ۳۳°	۳۴'E ۵۰°
۸/۴	۵۵۰	۱۴۷	۲۶۷	-۰/۵۹	Y/N	Typic Haploxerepts	۳۳'N ۳۳°	۴۴'E ۵۰°
۵/۱	۳۷۱	۱۸۹	۳۲۵	-۰/۳۶	N/Y	Typic Haploxerepts	۱۷'N ۳۳°	۵۶'E ۵۰°
۱۳/۹	۴۹۰	۱۱۷	۲۶۶	-۰/۵۹	N/Y	Typic Calcixerpts	۱۵'N ۳۳°	۵۱'E ۵۰°
۱۰/۴	۳۷۰	۱۶۲	۲۱۰	-۰/۶۱	N+	Typic Calcixerpts	۱۵'N ۳۳°	۵۸'E ۵۰°
۷/۰	۱۳۳	۶۱۷	۱۹۰	-۰/۲۶	N+	Typic Haploxerepts	۲۹'N ۳۳°	۵۵'E ۵۰°



شکل ۲- مقدار تجمعی فسفر آزادشده با زمان

گونه‌های فسفر مرحله محدود کننده سرعت در آزادسازی فسفر و در بازه‌های زمانی کوتاه مدت فرایند واجذب احتمالاً غالب است. به علت مشکل در جداسازی این دو فرایند سیستمیک آزادسازی فسفر به صورت ترکیبی از دو فرایند رهاسازی و انحلال در نظر گرفته می‌شود. مقادیر فسفر آزاد شده پس از ۱۶۸ ساعت و ۸۴۰ ساعت از شروع آزمایش در

در طول مراحل اولیه رهاسازی، فسفر نگهداشت شده در مکان‌های با انرژی فالسازی پایین رها می‌شود این در حالی است که در طول مراحل آخر، فسفر نگهداشت شده در مکان‌های با انرژی فالسازی بالا واجذب می‌شود. علاوه بر این، مکدول و شارپلی (۱۶) پیشنهاد کردند که در بازه‌های زمانی طولانی مدت، انحلال

همان طور که اشاره شد، روند آزاد شدن تجمعی فسفر با زمان شامل دو بخش بود. بررسی نمودار آزاد شدن تجمعی فسفر نشان داد که سرعت آزاد شدن فسفر از این خاکها (چه ریزوسفری و چه توده) در مراحل اولیه سریع و سپس کند بود. بنابراین نمودارها به دو بخش تقسیم و در هر بخش (۲-۱۶۸ و ۱۶۸-۸۴۰ ساعت) معادلات سیستیکی بر داده‌ها پرازش شدند. دامنه تعییرات و میانگین<sup>2</sup> SE معادلات برای هر دو بخش (۲-۱۶۸ و ۱۶۸-۸۴۰ ساعت) در جدول ۴ آورده شده است.

نتایج نشان دادند که در بخش اول، معادله‌های تابع نمایی، پخشیدگی پارابولیک، الوبیج ساده و مرتبه اول می‌توانند سرعت آزادشدن فسفر را به خوبی، تشریح کنند. همچنین، در بخش دوم معادله‌های تابع نمایی، پخشیدگی پارابولیک، الوبیج ساده و مرتبه اول می‌توانند سرعت آزادشدن فسفر را به خوبی، توضیح دهند. ثابت‌های برآورد شده معادله‌های مربوط به بخش اول و دوم در خاک‌های ریزوسفری و توده در جداول ۵ و ۶ آورده شده است. در بخش اول، دامنه ثابت سرعت معادله الوبیج ساده در خاک‌های ریزوسفری و توده به ترتیب از (خاک ۹) تا (۵۲/۸) و از (خاک ۹) تا (۱۰) ۵۵ میلی‌گرم در کیلوگرم بر ساعت (خاک ۹) بود.

دامنه ثابت سرعت معادله پخشیدگی پارابولیک در خاک‌های ریزوسفری و توده به ترتیب از (خاک ۱۰) تا (۱۶/۳) و از (خاک ۹) تا (۵/۱) بود. دامنه ثابت سرعت تابع توانی در خاک‌های ریزوسفری و توده به ترتیب از (خاک ۸) تا (۰/۰۴۱) و از (خاک ۳) و از (خاک ۳) تا (۰/۴۰) میلی‌گرم در کیلوگرم بر ساعت (خاک ۷) بود. دامنه ثابت سرعت معادله مرتبه اول ( $k_1 \times 10^3$ ) در خاک‌های ریزوسفری و توده به ترتیب از (خاک ۱۰) تا (۱۷/۷۵) و از (خاک ۱۰) تا (۱۷/۹۲) میلی‌گرم در کیلوگرم بر ساعت (خاک ۷) بود.

جدول ۳ آورده شده است. نتایج نشان داد که دامنه مقدار فسفر استخراج شده بعد از ۸۴۰ ساعت از خاک‌های ریزوسفری و توده به ترتیب از (خاک ۹) تا (۳۸۷) و از (خاک ۱۰) تا (۴۰۸) میلی‌گرم بر کیلوگرم (خاک ۹) بود. همچنین، دامنه مقدار فسفر استخراج شده بعد از ۱۶۸ ساعت از خاک‌های ریزوسفری و توده به ترتیب از (خاک ۹) تا (۳۱۲) و از (خاک ۱۰) تا (۳۲۵) میلی‌گرم بر کیلوگرم (خاک ۹) بود. نتایج تی تست جفت شده نشان داد که مقدار فسفر استخراج شده توسط عصاره‌گیری متولی با بی کربنات سدیم بعد از سبیری شدن ۱۶۸ و ۸۴۰ ساعت از خاک‌های ریزوسفری به طور معنی‌داری کمتر از خاک‌های توده بود.

در آزمایش حاضر، فعالیت ریشه نه تنها فسفر قابل استفاده (فسفر اولسن) را تحت تأثیر قرار داد، همچنین ویژگی‌های بیولوژیکی و شیمیایی خاک را نیز تحت تأثیر قرار داد. نتایج نشان داد که ریزوسفر گندم منجر به افزایش فعالیت فسفاتاز اسیدی، فسفاتاز قلیایی، کربن آلی محلول، کربن و فسفر زیست توده میکروبی و کاهش فسفر قابل استخراج با روش اولسن شد (نتایج نشان داده نشده است). علاوه بر این نتایج نشان داد که توزیع برخی از جزء‌های فسفر معدنی و مقدار فسفر آلی در خاک‌های ریزوسفری و خاک‌های توده گندم متفاوت بود. بنابراین، کاهش غلظت فسفر در خاک مجاور ریشه، نیروی لازم برای پخشیدگی فسفر به سمت ریشه را تأمین نموده و علاوه بر این تعادل جذب-واجذبی و رسوب-انحلال را بر هم زده و منجر به دسترسی بیشتر گیاه به منابع فسفر کمتر قابل دسترس گردیده است. مطابق با تحقیقات چن و همکاران (۶) و مارشتر و همکاران (۱۴) و (۱۵) گزارش کرده که شرایط شیمیایی و بیولوژیکی ریزوسفر متفاوت از خاک‌های توده بود. همچنین گزارشاتی مبنی بر تفاوت جزء‌بندی فسفر در خاک‌های ریزوسفری و خاک‌های توده وجود دارد (۱۲) و (۲۳).

جدول ۳- مقدار فسفر آزاد شده (mg/kg) از خاک‌های ریزوسفری و توده مطالعه شده

۲-۱۶۸ h		۲-۸۴۰ h		۱۶۸-۸۴۰ h		شماره خاک
توده	ریزوسفر	توده	ریزوسفر	توده	ریزوسفر	
۱۰۷	۱۱۵	۱۳۹	۱۴۶	۳۱	۳۱	۱
۱۰۵	۱۱۸	۱۳۳	۱۵۳	۲۸	۳۶	۲
۱۴۹	۱۷۰	۱۹۳	۲۲۴	۴۴	۵۴	۳
۱۱۹	۱۳۳	۱۴۲	۱۵۹	۲۳	۲۶	۴
۱۲۸	۱۴۰	۱۶۱	۱۷۳	۳۳	۳۳	۵
۱۰۷	۱۱۲	۱۳۳	۱۴۲	۲۶	۳۰	۶
۲۲۶	۲۴۸	۳۰۷	۳۲۹	۸۰	۸۱	۷
۱۹۸	۲۰۳	۲۲۶	۲۳۴	۲۹	۳۲	۸
۳۱۲	۳۲۵	۳۸۷	۴۰۸	۷۵	۸۳	۹
۸۱	۸۶	۹۴	۱۰۰	۱۴	۱۴	۱۰
۱۵۳ <sup>B</sup>	۱۶۵ <sup>A</sup>	۱۹۲ <sup>B</sup>	۲۰۷ <sup>A</sup>	۳۸ <sup>B</sup>	۴۷ <sup>A</sup>	میانگین

حروف متفاوت در سطر پایانی نشان‌دهنده تفاوت میانگین‌ها توسط تی تست جفت شده می‌باشد

جدول ۴- ضرایب تشخیص و خطای استاندارد برآورد (mg/kg) معادلات استفاده شده در دو بخش

الویج ساده شده		پخشیدگی پارابولیک		تابع توانی		مرتبه اول		خاک	
میانگین دامنه	میانگین دامنه	میانگین دامنه	میانگین دامنه	میانگین دامنه	میانگین دامنه	میانگین دامنه	میانگین دامنه	R <sup>2</sup>	ریزوسفر
۰/۹۷-۰/۹۹۹	۰/۹۷	۰/۹۲-۰/۹۹	۰/۹۷	۰/۹۷-۰/۹۹۹	۰/۹۸	۰/۹۵-۰/۹۸	۰/۹۷	R <sup>2</sup> ۰/۶۱-۰/۶۳	ریزوسفر توده
۳-۱۳	۷	۴-۱۶	۷	۳-۱۰	۵	۶-۱۷	۹		
۰/۹۷-۰/۹۹۹	۰/۹۸	۰/۹۲-۰/۹۹	۰/۹۷	۰/۹۶-۰/۹۹۹	۰/۹۸	۰/۹۴-۰/۹۸	۰/۹۷	R <sup>2</sup> ۰/۶۴-۰/۶۶	ریزوسفر توده
۴-۱۴	۷	۵-۱۶	۸	۳-۱۱	۵	۶-۱۷	۹		
۰/۹۶-۰/۹۹	۰/۹۷	۰/۹۹-۰/۹۹۹	۰/۹۹	۰/۹۷-۰/۹۹	۰/۹۸	۰/۹۶-۰/۹۸	۰/۹۷	R <sup>2</sup> ۰/۶۷-۰/۶۹	ریزوسفر توده
۰/۸-۶/۸	۲/۵	۰/۵-۲/۷	۱/۴	۰/۷-۵/۱	۲/۸	۱/۵-۸/۹	۴/۲		
۰/۹۴-۰/۹۹	۰/۹۷	۰/۹۸-۰/۹۹۹	۰/۹۹	۰/۹۵-۰/۹۹۹	۰/۹۸	۰/۹۴-۰/۹۹	۰/۹۷	R <sup>2</sup> ۰/۶۸-۰/۷۰	ریزوسفر توده
۰/۹-۵/۸	۲/۵	۰/۷-۲/۰	۱/۴	۰/۷-۴/۳	۲/۷	۱/۹-۸/۱	۴/۴		

فسفر کل در ریزوسفر گندم (۷۶۵ میلی گرم بر کیلوگرم) در مقایسه با متوسط مقدار فسفر کل در خاک‌های توده (۸۰۶ میلی گرم بر کیلوگرم) می‌تواند تصدیقی بر نتیجه‌گیری فوق باشد. در گذشته نیز به کاهش فسفر کل در خاک‌های ریزوسفری نسبت به خاک‌های توده اشاره شده است (۱۰). بنابراین، سرعت آزادسازی فسفر در خاک‌های ریزوسفر پایین تر از خاک‌های توده است. سازگاری‌هایی که گونه‌های گیاهی مختلف تحت شرایط کمبود فسفر به کار می‌گیرند، بر حسب گونه گیاه متفاوت هستند.

چنین سازگاری‌هایی شامل ترشح کربوکسیلات‌ها، اسید فسفاتاز، کاهش در pH ریزوسفر، افزایش وزن اختصاص یافته به ریشه، افزایش طول ویژه ریشه، افزایش تعداد ریشه‌های جانبی و تشکیل تار کشنده (۲۱) و همچنین تجمع و تخلیه فسفر معدنی در ریزوسفر (۱۰) می‌باشد. نتایج نشان داد که ثابت‌های سرعت در بخش دوم چه در خاک‌های ریزوسفری و چه در خاک‌های توده کمتر از ثابت‌های سرعت در بخش اول بود.

همچنین، بررسی نتایج نشان داد که به طور متوسط مقدار کاهش ثابت سرعت معادله الاویج ساده، پخشیدگی پارابولیک، تابع توانی و معادله مرتبه اول در بخش دوم نسبت به بخش اول در خاک‌های ریزوسفری به ترتیب ۱۳، ۰/۶۴ و ۰/۷۷ درصد بود. همچنین، متوسط مقدار کاهش ثابت سرعت معادله الاویج ساده، پخشیدگی پارابولیک، تابع توانی و معادله مرتبه اول در بخش دوم نسبت به بخش اول در خاک‌های توده به ترتیب ۱۲، ۰/۵۸ و ۰/۷۸ درصد بود. به نظر می‌رسد کاهش غلظت فسفر در خاک مجاور ریشه، نیروی لازم برای پخشیدگی فسفر به سمت ریشه را تأمین نموده و در وهله‌ی اول منجر به وجودی فسفر تا درجه‌ای که مطابق با حلالیت ترکیب فسفر با حداقل پایداری است، خواهد شد (۲۶).

به نظر می‌رسد جذب فسفر توسط ریشه گیاه منجر به تخلیه مخازن لایبل در خاک‌های ریزوسفری شده و در نتیجه سرعت آزادسازی فسفر در خاک‌های ریزوسفر پایین تر از خاک‌های توده است. در تحقیقات گذشته نیز به تخلیه فسفر لایبل در ریزوسفر گندم اشاره شده است (۱۰ و ۱۴). در بخش دوم، دامنه ثابت سرعت معادله الاویج ساده در خاک‌های ریزوسفری و توده به ترتیب از ۰/۶ (خاک ۱۰) تا ۰/۵۰ (خاک ۷) و از ۰/۹۰ (خاک ۱۰) تا ۰/۵۱ میلی گرم در کیلوگرم بر ساعت (خاک ۹) بود. دامنه ثابت سرعت معادله پخشیدگی پارابولیک در خاک‌های ریزوسفری و توده به ترتیب از ۰/۸۷ (خاک ۱۰) تا ۰/۵۱ (خاک ۷) و از ۰/۹۲ (خاک ۱۰) تا ۰/۵۲۸ میلی گرم در کیلوگرم بر ساعت به توان نیم (خاک ۹) بود. دامنه ثابت سرعت تابع توانی در خاک‌های ریزوسفری و توده به ترتیب از ۰/۰۹ (خاک ۸) تا ۰/۰۲۰ (خاک ۷) و از ۰/۰۹ (خاک ۸) تا ۰/۱۸ کیلوگرم در کیلوگرم بر ساعت (خاک ۳ و ۷) بود. دامنه ثابت سرعت معادله مرتبه اول ( $p1 \times 10^3$ ) در خاک‌های ریزوسفری و توده به ترتیب از ۳/۰۴ (خاک ۲) تا ۳/۷۴ (خاک ۴) و از ۲/۷۶ (خاک ۱) تا ۳/۸۲ میلی گرم در کیلوگرم بر (خاک ۴) ساعت بود. به نظر می‌رسد جذب فسفر توسط ریشه گیاه منجر به تخلیه مخازن لایبل در خاک‌های ریزوسفری شده و با ادامه جذب و تخلیه فسفر تعادل جذب-واجدبی و رسوب-انحلال را بر هم زده و منجر به دسترسی بیشتر گیاه به منابع فسفر تقریباً غیر قابل دسترس می‌گردد و احتمالاً جزء‌های از فسفر با قابلیت دسترسی سییار پایین در ریزوسفر باقی می‌مانند و کنترل کننده سرعت آزادسازی فسفر از خاک‌های ریزوسفری در این مرحله می‌باشند. این در حالی است که در خاک‌های توده احتمالاً ترکیبات فسفر با قابلیت دسترسی پایین و بسیار پایین کنترل کننده سرعت آزادسازی فسفر از خاک‌های توده در این بخش می‌باشند. کمتر بودن متوسط مقدار

جدول ۵ - ضرایب معادلات استفاده شده برای تشرییح سینتیک از اداسازی فسفر از خاک‌های ریزوسفری و توده در بخش اول (۱۶۷-۱۶۸)

شماره خاک	مربوطه اول											
	تابع توانی						تابع توانی					
	پخشیدگی پارابولیک			پخشیدگی پارابولیک			دینوسفر			دینوسفر		
a	1/B	a	1/B	a	R	a	b	a	b	a	$k_1 * 10^3$	$k_1 * 10^3$
-۴۲/۲	-۳۱/۵	-۲۱/۵	۲۱/۲	۱۲/۷	۷/۲	۱۵/۱	۷/۸	۱/۲	۰/۷۷	۱/۸	۰/۷۵	۴/۴۹
-۲/۹	-۰/۷	۲/۱/۱	۱۳/۴	۷/۰	۱۷/۹	۱۷/۹	۱/۶	۰/۷۶	۰/۷۶	۰/۷۰	۰/۳۴	۴/۴۹
-۱۱/۳	-۱/۲/۱	۳۲/۱	۱۱/۴	۱/۰/۷	۱۵/۱	۱۲/۰	۱/۸	۰/۷۶	۰/۷۶	۰/۷۳	۰/۱۴	۱/۴۴
-۳/۵	-۲/۱/۶	-۲۲/۱	۱۵/۰/۷	۸/۰/۷	۸/۰/۷	۸/۰/۷	۰/۷۶	۰/۷۶	۰/۷۶	۰/۷۵	۰/۱۲۲	۴
-۴۲/۴	-۰/۷	۲۲/۹	۱۵/۰/۴	۸/۰/۵	۲/۰/۵	۹/۰	۰/۷۷	۰/۷۷	۰/۷۷	۰/۷۵	۰/۱۵۲	۲
-۱/۴	-۰/۰/۲	۱۸/۷	۱۳/۲/۷	۶/۰/۹	۱۷/۰	۷/۱	۰/۷۷	۰/۷۷	۰/۷۷	۰/۷۵	۰/۱۳۹	۵
-۱۸/۴	-۲/۰/۲	۴۴/۱	۴/۰/۵	۲/۰/۵	۱۹/۱	۱۹/۱	۰/۷۷	۰/۷۷	۰/۷۷	۰/۷۵	۰/۱۴۱	۶
-۱۸/۹	-۱/۸/۳	۳۴/۲	۳/۰/۵	۰/۵/۲	۱۲/۱	۵/۰/۷	۰/۷۷	۰/۷۷	۰/۷۷	۰/۷۵	۰/۱۷۵	۷
-۳۷/۹	-۰/۲/۸	۵۲/۸	۰/۵/۸	۰/۵/۸	۱۹/۱	۱۷/۰/۲	۰/۷۸	۰/۷۸	۰/۷۸	۰/۷۵	۰/۱۸۷	۸
-۴۲/۲	-۰/۴/۹	۱۲/۴	۱/۰/۳	۱/۰/۳	۱۴/۱	۱۷/۰/۸	۰/۷۸	۰/۷۸	۰/۷۸	۰/۷۵	۰/۱۷۹۲	۹
						۱/۰/۱	۰/۷۸	۰/۷۸	۰/۷۸	۰/۷۵	۰/۱۷۷۷	۱۰

خواهد بود (۲۶). مارل و هینسینگر (۱۷) به بررسی سینتیک تبادل یون فسفر بین محلول خاک و فاز جامد خاک در دو خاک ریزوسفری و خاک غیرریزوسفری پرداختند. نتایج نشان داد که سینتیک تبادل فسفر بین فاز جامد و مایع خاک به طور معنی‌داری بین خاک

شماره خاک	جدول ۶ - ضرایب معادلات استفاده شده برای تشرییح سینتیک از اداسازی فسفر از خاک‌های ریزوسفری و توده در بخش دوم (۱۶۸-۱۶۹)											
	تابع توانی						تابع توانی					
	پخشیدگی پارابولیک			پخشیدگی پارابولیک			دینوسفر			دینوسفر		
a	1/B	A	1/B	a	R	a	b	a	b	a	$k_1 * 10^3$	$k_1 * 10^3$
۵/۹	۱۹/۴	۱۹/۶	۸/۰/۹	۱/۹/۸	۸/۷/۵	۸/۷/۵	۰/۷۶	۰/۷۶	۰/۷۶	۰/۷۶	۰/۷۶	۰/۷۶
۱۳/۴	۱۷/۴	۱/۸	۲۲/۱	۸/۰/۷	۱/۷/۸	۸/۷/۷	۰/۷۶	۰/۷۶	۰/۷۶	۰/۷۶	۰/۷۶	۰/۱۱۲
۴/۰	۲۱/۵	-۵/۰	۳۳/۷	۱۱/۱۴	۲/۰/۰	۱/۴/۸	۲/۰/۸/۲	۰/۷۶	۰/۷۶	۰/۷۶	۰/۷۶	۰/۴۵
۳۲/۱	۱۴/۷	۴۷/۴	۱۶/۰	۰/۰/۷	۳۳/۷	۱۰/۰	۱۱/۱/۴	۱۱/۱/۷	۰/۷۶	۰/۷۶	۰/۷۶	۰/۸۸۲
۱۸/۸	۲۰/۸	۳۳/۱	۲۰/۷	۹/۹/۳	۱۱/۰/۷	۱۱/۱۳	۰/۷۶	۰/۷۶	۰/۷۶	۰/۷۶	۰/۷۶	۰/۵۵۵
۲۰/۴	۱۶/۵	۱۱/۰	۱۹/۱	۸/۳/۱	۱/۹/۱	۸/۳/۱	۰/۷۶	۰/۷۶	۰/۷۶	۰/۷۶	۰/۷۶	۰/۲۲۲
-۳۵/۹	۵/-۰	-۱۴/۸	۵/۰/۳	۱۵/۷/۴	۵/۱/۱	۱۵/۷/۴	۰/۷۶	۰/۷۶	۰/۷۶	۰/۷۶	۰/۷۶	۰/۲۲۴
۱۰/۴/۴	۱۷/۹	۹۹/۴	۱۹/۹	۱۷/۳/۴	۱/۸/۲	۱۷/۴/۷	۰/۷۶	۰/۷۶	۰/۷۶	۰/۷۶	۰/۷۶	۰/۶
۵۷/۷	۴۲/۸	۵۴/۵	۵/۱/۱	۲۴/۸/۷	۴/۷/۷	۲۴/۸/۷	۰/۷۶	۰/۷۶	۰/۷۶	۰/۷۶	۰/۷۶	۰/۲۱
۳۲/۲	۸/۴	۲۱/۴	۳/۰/۴	۳/۰/۴	۰/۷۶	۰/۷۶	۰/۷۶	۰/۷۶	۰/۷۶	۰/۷۶	۰/۷۶	۰/۲۱

در صورتی که جذب توسط گیاه ادامه یابد هر واحدی بیشتر از سطح ترکیبات خاک به منظور تأمین کردن فسفر در فاز محلول، منجر به انحلال ترکیب فسفر و دوباره پر شدن سیستم جذب خواهد شد. در این مرحله انحلال ترکیبات فسفر مرحله‌ی محدود کننده سرعت

در بخش اول، مقدار فسفر آزاد شده پس از ۱۶۸ ساعت از شروع آزمایش، ثابت سرعت معادلات الوبیج ساده، پخشیدگی پارابولیک، و معادله مرتبه اول همبستگی معنی داری با وزن خشک بخش هوایی و فسفر جذب شده توسط بخش هوایی گندم داشتند. همچنین، در بخش اول، نسبت وزن خشک ریشه به وزن خشک بخش هوایی گندم همبستگی معنی دار و منفی با ثابت سرعت معادلات الوبیج ساده و پخشیدگی پارابولیک و مقدار فسفر آزاد شده پس از ۱۶۸ ساعت از شروع آزمایش، داشت. این نتیجه نشان داد که هر چه مقدار فسفر آزاد شده کمتر باشد، گیاه گندم مقدار وزن خشک و کربن بیشتری را به ریشه نسبت به خاک های با توان بالاتر برای بافر کردن فسفر در فاز محلول اختصاص می دهد.

نتایج نشان داد که در بخش دوم، مقدار فسفر آزاد شده در بازه زمانی ۱۶۸ تا ۸۴۰ ساعت و ضرایب سرعت معادله الوبیج ساده و پخشیدگی پارابولیک در خاک های ریزوسفری و توده همبستگی معنی داری با غلظت فسفر و فسفر جذب شده توسط بخش هوایی گندم داشتند. همبستگی ثابت های سرعت معادلات سینتیکی با شاخص های گیاهی در مطالعات گذشته نیز گزارش شده است (۱، ۷، ۲۸ و ۳۰). بیانکی و حسین پور (۱) گزارش کردند که ثابت های معادلات پخشیدگی پارابولیک، تابع توانی و فسفر آزاد شده توسط عصاره گیری متولی با بی کربنات سدیم پس از ۱۷۵۲ ساعت همبستگی معنی داری با شاخص های گیاه ذرت داشتند.

ریزوسفری و خاک غیرریزوسفری متفاوت بود. علاوه بر این، مکدوول و شارپلی (۱۶) به بررسی سینتیک آزادسازی فسفر با استفاده از نوارهای کاغذی در ماتریکس  $\text{CaCl}_2$  در طول یک دوره ۲۴۶۰ دقیقه ای به عنوان تابعی از غلظت اولیه فسفر آزمون خاک (اولسن و کلرید کلسیم) پرداختند. آنها معادله تابع توانی را بر داده های آزادسازی فسفر در طول دروهی مورد مطالعه برآش دادند و مشاهده کردند که ضریب سرعت این معادله با افزایش فسفر استخراج شده به روش اولسن (P-اولسن) و فسفر استخراج شده توسط کلرید کلسیم (CaCl<sub>2</sub>-P) کاهش یافت. تشریح موقوفت آمیز سینتیک آزادسازی فسفر توسط معادله الوبیج ساده (۹، ۲۸، ۲۴ و ۳۰)؛ پخشیدگی پارابولیک (۱ و ۳۰) تابع توانی (۱ و ۹)؛ معادله مرتبه اول (۱) در گذشته گزارش شده است.

نتایج نشان داد که شاخص های گیاه گندم شامل: غلظت فسفر، عملکرد خشک ساقه و مقدار فسفر جذب شده توسط بخش هوایی (ساقه) گندم به طور معنی داری تحت تأثیر نوع خاک است (جدول ۵). کمترین و بیشترین جذب فسفر توسط گندم مربوط به خاک ۱۰/۰ (میلی گرم در ریزوباکس)؛ و خاک ۹/۲۹ (میلی گرم در ریزوباکس) بود. همچنین کمترین عملکرد خشک و غلظت فسفر در بخش هوایی گندم در خاک ۱۰ مشاهده شد و بیشترین عملکرد خشک و غلظت فسفر در بخش هوایی گندم مربوط به خاک ۹ بود (جدول ۷).

بررسی ضرایب همبستگی شاخص های گیاه گندم با ضرایب سرعت آزادشدن فسفر از خاک های ریزوسفری و توده در جدول ۸ و ۹ آورده شده است.

جدول ۷- اثر نوع خاک بر شاخص های گیاه گندم (n=۳)

شماره خاک	جذب ساقه	عملکرد خشک ساقه	غلظت فسفر ساقه	(mg kg <sup>-1</sup> )	(g rhizobox <sup>-1</sup> )	(mg rhizobox <sup>-1</sup> )
۱	۲/۰	۰/۷	۲۶۵۰	۲۶۵۰		
۲	۲/۷	۱/۰	۲۶۵۵			
۳	۳/۱	۱/۵	۲۰۰۰			
۴	۴/۷	۲/۷	۱۷۷۱			
۵	۸/۳	۳/۶	۲۲۶۱			
۶	۸/۱	۳/۱	۲۷۰۰			
۷	۱۴/۵	۵/۳	۲۷۶۱			
۸	۱۳/۵	۵/۸	۲۳۱۹			
۹	۲۹/۷	۵/۸	۵۲۰۶			
۱۰	۰/۲	۰/۴	۵۰۰			
LSD	۲/۱۵	۱/۲۰	۵۱۳			
F	۸۳/۵**	۲۶/۷**	۴۷**			

\*\*\* و \*\* به ترتیب معنی دار در p<0.05 و p<0.01.

جدول ۸- ضرایب همبستگی بین شاخص‌های گیاهی و ثوابت معادلات سینتیکی در خاک‌های ریزوسفری و توده در بخش اول

غلظت فسفر	وزن خشک	جذب	بخش هوایی/ریشه	رسفر آزاد شده
	بخش هوایی			ریزوسفر
.۰/۴۴	.۰/۸۲**	.۰/۸۵**	-.۰/۶۲*	رسفر آزاد شده
.۰/۴۴	.۰/۷۹**	.۰/۸۳**	-.۰/۵۶*	توده ۲-۱۶۸h
.۰/۴۳	.۰/۷۸**	.۰/۸۲**	-.۰/۵۵*	ریزوسفر الوویج ساده شده
.۰/۴۳	.۰/۷۸**	.۰/۸۲**	-.۰/۵۵*	توده
.۰/۴۳	.۰/۷۸**	.۰/۸۲**	-.۰/۵۵*	ریزوسفر پخشیدگی هذلولی
.۰/۴۳	.۰/۷۸**	.۰/۸۲**	-.۰/۵۵*	توده
-.۰/۱۰	-.۰/۳۱	-.۲۰	.۰/۳۸	ریزوسفر تابع توانی
-.۰/۰۵	-.۰/۲۸	-.۰/۱۶	.۰/۳۰	توده
-.۰/۴۳	-.۰/۶۷**	-.۰/۶۴**	.۰/۳۸	ریزوسفر مرتبه اول
-.۰/۴۷	-.۰/۶۲*	-.۰/۵۹*	.۰/۳۱	توده

\*\*\*- به ترتیب معنی دار در  $p < 0.05$  و \*\*- به ترتیب معنی دار در  $p < 0.01$ 

جدول ۹- ضرایب همبستگی بین شاخص‌های گیاهی و ثوابت معادلات سینتیکی در خاک‌های ریزوسفری و توده در بخش دوم

غلظت فسفر	وزن خشک	جذب	بخش هوایی/ریشه	رسفر آزاد شده
	بخش هوایی			ریزوسفر
.۰/۵۸*	.۰/۵۲	.۰/۶۲*	-.۰/۳۱	رسفر آزاد شده
.۰/۶۸**	.۰/۵۰	.۰/۶۱*	-.۰/۳۱	توده ۱۶۸-۸۴۰h
.۰/۵۸*	.۰/۵۲	.۰/۶۲*	-.۰/۳۱	ریزوسفر الوویج ساده شده
.۰/۶۷**	.۰/۵۵*	.۰/۶۶**	-.۰/۳۹	توده
.۰/۵۸*	.۰/۵۲	.۰/۶۲*	-.۰/۳۱	ریزوسفر پخشیدگی هذلولی
.۰/۶۷**	.۰/۵۵*	.۰/۶۶**	-.۰/۳۹	توده
.۰/۳۵	-.۰/۱۸	-.۰/۰۳	.۰/۲۵	ریزوسفر تابع توانی
.۰/۵۰	-.۰/۱۰	-.۰/۰۵	.۰/۰۵	توده
.۰/۵۵*	-.۰/۱۳	-.۰/۱۰	.۰/۲۷	ریزوسفر مرتبه اول
.۰/۷۰**	-.۰/۱۵	-.۰/۰۷	.۰/۲۱	توده

\*\*\*- به ترتیب معنی دار در  $p < 0.05$  و \*\*- به ترتیب معنی دار در  $p < 0.01$ 

در خاک مجاور ریشه، نیروی لازم برای پخشیدگی فسفر به سمت ریشه را تأمین نموده و در وهله‌ی اول منجر به واجذبی فسفر تا درجه‌ای که مطابق با حلالیت ترکیب فسفر با حداقل پایداری است، خواهد شد. به نظر می‌رسد این مرحله مطابق با بخش اول منحنی آزادسازی فسفر می‌باشد. در صورتی که جذب توسط تمدنی فسفر هر واجذبی بیشتر فسفر از سطح ترکیبات خاک به منظور تمدنی فسفر در فاز محلول منجر به انحلال ترکیب فسفر با حداقل پایداری و دوباره پر شدن سیستم جذب خواهد شد. در این مرحله انحلال ترکیبات فسفر مرحله‌ی محدود کننده سرعت خواهد بود. همچنین نتایج مطالعات همبستگی نشان داد که در هر دو بخش مقدار فسفر آزاد شده در بازه زمانی مورد نظر، ثابت سرعت معادلات الوویج ساده و پخشیدگی پارابولیک، در خاک‌های ریزوسفری و توده همبستگی معنی‌داری با شاخص‌های گیاه گندم داشتند. بنابراین، سرعت و مقدار آزادسازی فسفر از فاز جامد اثر قابل ملاحظه‌ای بر جذب فسفر توسط

### نتیجه‌گیری

بررسی نمودار آزاد شدن تجمعی فسفر توسط عصاره‌گیر بی‌کربنات سدیم نشان داد که سرعت آزاد شدن فسفر از این خاک‌ها (چه ریزوسفری و چه توده) در مراحل اولیه سریع و سپس کند بود. بنابراین نمودارها به دو بخش تقسیم و در هر بخش (۱۶۸-۸۴۰ و ۲-۱۶۸ ساعت) معادلات سینتیکی بر داده‌ها برآش شدند. نتایج نشان داد که مقدار فسفر استخراج شده توسط عصاره‌گیری متولی با بی‌کربنات سدیم بعد از سپری شدن ۱۶۸ و ۸۴۰ ساعت از خاک‌های ریزوسفری به طور معنی‌داری کمتر از خاک‌های توده بود. هچنین، در هر دو بخش، معادله‌های تابع نمایی، پخشیدگی پارابولیک، الوویج ساده و مرتبه اول می‌توانند سرعت آزادشدن فسفر را به خوبی، تشریح کنند. نتایج نشان داد که در بخش اول و دوم سرعت آزادسازی فسفر از خاک‌های ریزوسفری کمتر از خاک‌های توده بود. کاهش غلظت فسفر

ریشه گندم داشته و می‌تواند شاخص‌های مفیدی از قدرت تأمین

فسفر توسط فاز جامد برای گیاه فراهم نمایند.

## منابع

- بیابانکی ف. و حسین‌پور ع.ر. ۱۳۸۶. سیستیک آزاد شدن فسفر و همبستگی ضرایب مدل‌های سیستیک با برخی ویژگی‌های خاک و شاخص‌های گیاهی در تعدادی از خاک‌های همدان. علوم و فنون کشاورزی و منابع طبیعی، ۵۰۳-۴۹۱: ۱۱.
- 2- Barrow N.J. 1978. The description of phosphate adsorption curves. *Journal of Soil Science*, 29: 447-462.
- 3- Barrow N.J., Hansen H.C., B. Hansen P.E., and Magid J. 2000. A note on the description of the kinetics of phosphate sorption. *European Journal of Soil Science*, 51: 531-535.
- 4- Bhattacharyya P., Datta S.C., and Dureja P. 2003. Interrelationship of pH organic acids and phosphorus concentration in soil solution of rhizosphere and non-rhizosphere of wheat and rice crops. *Communications in Soil Science and Plant Analysis*, 34: 231-245.
- 5- Chapman H.D. 1965. Cation exchange capacity. p. 891-901. In: C.A. Black (ed.) *Methods of Soil Analysis*. Part 2. American Society of Agronomy, Madison, WI.
- 6- Chen C.R., Condrong L.M., Davis M.R., and Sherlock R.R. 2002. Phosphorus dynamics in the rhizosphere of perennial ryegrass (*Lolium perenne* L.) and radiata pine (*Pinus radiata* D. Don.). *Soil Biology and Biochemistry*, 34: 487-499.
- 7- Cooke I.J. 1966. Kinetic approach to the description of soil phosphate status. *Journal of Soil Science*, 17: 56-64.
- 8- Gee G.H., and Bauder J.W. 1986. Particle size analysis. p. 383-409. In: A. Klute (ed.) *Methods of Soil Analysis*. Part 2 physical properties. SSSA, Madison, WI.
- 9- Gorgin N., Fekri M., and Sadegh L. 2011. Impact of organic-matter application on phosphorus-desorption kinetics in two agricultural soils in southeastern Iran. *Communications in Soil Science and Plant Analysis*, 42: 514-527.
- 10- Hinsinger P. 2001. Bioavailability of soil inorganic P in the rhizosphere as affected by root-induced chemical changes: a review. *Plant Soil*, 237: 173-195.
- 11- Kuo S. 1996. Phosphorus. p. 869-920. In: D.L. Sparks (ed.) *Methods of Soil Analysis*. Part 3 chemical methods. SSSA, Madison, WI.
- 12- Li Y.F., Luo A.C., Wei X.H., and Yao X.G. 2008. Changes in phosphorus fractions pH and phosphatase activity in rhizosphere of two rice genotypes. *Pedosphere*, 18: 785-794.
- 13- Loepert R.H., and Sparks D.L. 1996. Carbonate and gypsum. p. 437-474. In: D.L. Sparks (ed.) *Methods of Soil Analysis*. Part 3 chemical methods. SSSA, Madison, WI.
- 14- Marschner P., Solaiman Z.M., and Rengel Z. 2005. Growth phosphorus uptake and rhizosphere microbial community composition of a phosphorus-efficient wheat cultivar in soils differing in pH. *Journal of Plant Nutrition and Soil Science*, 168: 343-351.
- 15- Marschner P., Solaiman Z., and Rengel Z. 2007. Brassica genotypes differ in growth, phosphorus uptake and rhizosphere properties under P-limiting conditions. *Soil Biology and Biochemistry*, 39: 87-98.
- 16- McDowell R.W., and Sharpley A.N. 2003. Phosphorus solubility and release kinetics as a function of soil test P concentration. *Geoderma*, 112: 143-154.
- 17- Morel C., and Hinsinger P. 1999. Root-induced modifications of the exchange of phosphate ion between soil solution and soil solid phase. *Plant and Soil*, 211: 103-110.
- 18- Murphy J., and Riley J.P. 1962. A modified single solution method for the determination of phosphate in natural waters. *Analytical Chemical Acta*, 27: 31-36.
- 19- Nelson D.W., and Summers L.E. 1996. Total carbon organic carbon and organic matter. p. 961-1011. In: D.L. Sparks (ed.) *Methods of Soil Analysis*. Part 3 chemical methods. SSSA, Madison, WI.
- 20- Nishanth D., and Biswas D.R. 2008. Kinetics of phosphorus and potassium release from rock phosphate and waste mica enriched compost and their effect on yield and nutrient uptake by wheat (*Triticum aestivum*). *Bio-resource Technology*, 99: 3342-3353.
- 21- Nuruzzaman M., Lambers H., Bolland M.D.A., and Veneklaas E.J. 2006. Distribution of carboxylates and acid phosphatase and depletion of different phosphorus fractions in the rhizosphere of a cereal and three grain legumes. *Plant and Soil*, 281: 109-12.
- 22- Rhoades J.D. 1996. Salinity Electrical conductivity and total dissolved solids. p. 417-437. In: D.L. Sparks (ed.) *Methods of Soil Analysis*; SSSA: Madison, WI.
- 23- Rose T.J., Hardiputra B., and Rengel Z. 2010. Wheat, canola and grain legume access to soil phosphorus fractions differs in soils with contrasting phosphorus dynamics. *Plant Soil*, 326: 159-170.
- 24- Shariatmadari H., Shirvani M., and Jafari A. 2006. Phosphorus release kinetics and availability in calcareous soils of selected arid and semiarid toposequences. *Geoderma*, 132: 261-272.
- 25- Sharpley A.N., and Ahuja L.R. 1983. A diffusion interpretation of soil phosphorus desorption. *Journal of Soil Science*, 135 322- 326.

- 
- 26- Sparks D.L. 1999. Kinetics and mechanisms of chemical reactions at the soil mineral/water interface. p. 135–191. In: D.L. Sparks (ed.) *Soil Physical Chemistry*, 2nd ed. CRC Press, Boca Raton, FL.
  - 27- StatSoft, Inc. 2010. STATISTICA (data analysis software system), Version 10. www. Statsoft.com.
  - 28- Steffens D. 1994. Phosphorus release kinetics and extractable phosphorus after long-term fertilization. *Soil Science Society of America Journal*, 58: 1702-1708.
  - 29- Thomas G.W. 1996. Soil pH and soil acidity. p. 475-491. In: D.L. Sparks (ed.) *Methods of Soil Analysis. Part 3 chemical methods*. SSSA, Madison, WI.
  - 30- Toor G.S., and Bahl G.S. 1999. Kinetics of phosphate desorption from different soils as influenced by application of poultry manure and fertilizer phosphorus and its uptake by soybean. *Bioresource Technology*, 69: 117-121.



## The Rhizospheric Effects of Wheat (*Triticum aestivum L.*) on Phosphorus Release Kinetics

T. Raiesi<sup>1\*</sup>- A. Hosseinpur<sup>2</sup>

Received: 19-01-2013

Accepted: 25-08-2013

### Abstract

The objective of this research was to evaluate the rhizospheric effects of wheat on phosphorus (P) release kinetics in 10 calcareous soils under rhizobox conditions. The kinetics of P release in the bulk and the rhizosphere soils were determined by successive extraction with 0.5 M NaHCO<sub>3</sub> in a period of 2 to 840 h at 25 ± 1°C. The results of kinetics study showed that mean of released P after 840 h of extraction period in the rhizosphere soils (192 mg/kg) was significantly lower than the bulk soils (207 mg/kg). A plot of cumulative amount of P released from both the rhizosphere and the bulk soils showed a discontinuity in slope at 168 h. Thus, two equations were applied to segments of the total reaction time (2 to 168 and 168 to 840 h). Release kinetics of P from the rhizosphere and the bulk soils conformed fairly well to parabolic diffusion, simplified Elovich, power function and first order models in two segments. The correlation results showed that P released after 168 and P release rate constants of simplified Elovich, parabolic diffusion and first order equations in the rhizosphere and the bulk soils were significantly correlated ( $p \leq 0.05$ ) with wheat plant indices. In second segment, P release rate constants of Elovich, and parabolic diffusion equations in the rhizosphere and the bulk soils were significantly correlated with wheat plant indices ( $p \leq 0.1$ ). The results of this research indicated that wheat rhizosphere caused decrease of the P release rate and P release amount and release rate of P are important factors in supplying available P to plants.

**Keywords:** Rhizosphere, Plant indices, Successive extraction